

УДК 536.424.1:539.89

©1995

**ИССЛЕДОВАНИЕ ТВЕРДЫХ РАСТВОРОВ
 $Rb_2KSc_{1-x}Ga_xF_6$**

*M.B. Горев, А.Ф. Бовина, Г.В. Бондаренко, И.Н. Флеров,
 A. Трессо,¹ Ж. Граннек¹*

Институт физики им. Л.В. Киренского СО РАН, Красноярск
 (Поступила в Редакцию 1 августа 1994 г.)

Изучено влияние замещений ионов B^{3+} в соединениях со структурой эльпасолита $Rb_2RB^{3+}F_6$ (B^{3+} : Ga, Sc) на картину фазовых превращений. Определены зависимости параметра кубической ячейки, температуры превращения T_2 ($I4/m - P2_1/n$) и dT_2/dp от концентрации атомов заместителей и величины $R_{B^{3+}}$.

Кристаллы ряда $Rb_2RB^{3+}F_6$, имеющие в качестве исходной кубическую структуру $Fm\bar{3}m$ типа эльпасолита, при понижении температуры претерпевают сегнетоэластические фазовые переходы ($\Phi\Pi$), причем температуры $\Phi\Pi$ и последовательности искаженных фаз существенно зависят от размеров трехвалентного иона B^{3+} [1–9]. В случае, когда размер иона B^{3+} ($R_{B^{3+}}$) больше 0.88 Å (B^{3+} : Er, Ho, Dy, Tb, Y), в эльпасолитах происходит один триггерный $\Phi\Pi$ $Fm\bar{3}m - P2_1/n$, связанный с запцеплением двух ротационных мод Γ_4^+ и X_2^+ [1–3, 7]. При уменьшении $R_{B^{3+}}$ (B^{3+} : Lu, In, Sc) этот $\Phi\Pi$ расщепляется на два последовательных превращения $Fm\bar{3}m - I4/m - P2_1/n$, а область стабильности появляющейся при этом промежуточной тетрагональной фазы расширяется [4–7]. Структурные искажения ячейки от кубической до моноклинной в соединениях с $R_{B^{3+}} > 0.745$ Å сопровождаются изменением энтропии в диапазоне от $\Sigma \Delta S_i = (0.2R + 0.5R)$ до $1.1R$ и величинами dT_1/dp от 17 до 23 K·GPa⁻¹ в соединениях с Sc и Ho соответственно и хорошо описываются в рамках термодинамической теории и модели жестких шаров [7].

В кристаллах с $R_{B^{3+}} < 0.645$ Å (B^{3+} : Fe, Cr, Ga) обнаружен один $\Phi\Pi$ [1, 2, 5, 9, 10]. Симметрия искаженных фаз ни в одном из этих кристаллов однозначно не определена из-за разрушения кристаллов при $\Phi\Pi$. Возможные пространственные группы — $P4/m$, $P2/m$, $P2_1/n$, $P1$. Большое изменение энтропии ($1.9R$) и очень большой сдвиг температуры $\Phi\Pi$ под давлением ($+131$ K·GPa⁻¹) [5, 10] позволяют выделить эти кристаллы в ряду $Rb_2RB^{3+}F_6$ и дают основание считать, что механизм $\Phi\Pi$ в них может быть иным, несмотря на сегнетоэластическую природу, так же как в кристаллах с Sc, Lu,

¹ Лаборатория химии твердого тела, Бордо, Франция.

Для выяснения особенностей фазовой диаграммы $T - R_{\text{B}^{3+}}$ в диапазоне $0.645 < R_{\text{B}^{3+}} < 0.745 \text{ \AA}$ в данной работе проведены исследования твердых растворов $\text{Rb}_2\text{KSc}_{1-x}\text{Ga}_x\text{F}_6$.

Все соединения были приготовлены в виде порошков в результате твердотельной химической реакции из смеси RbF , KF , ScF_3 и GaF_3 , взятых в необходимых пропорциях, при температуре 700°C в запаянных платиновых ампулах в атмосфере аргона. При синтезе компоненты подбирались таким образом, чтобы получить составы с $x = 0.1, 0.3, 0.5, 0.7$ и 0.9 .

Действительный состав образцов уточнялся методом рентгеноспектрального флуоресцентного анализа. Использованный методический подход был основан на измерении интенсивностей вторичной рентгеноиской флуоресценции всех элементов (кроме фтора), входящих в состав образцов, и при последующем введении поправок на поглощение в эти интенсивности. Особенностью введения поправок на поглощение в интенсивность $\text{Ga}K_{\alpha_{1,2}}$ было то, что, измеряя относительную интенсивность этого дублета галлия в образцах в единицах интенсивности чистого металлического галлия, мы имели возможность рассчитать коэффициенты ослабления первичного излучения во всех элементах, из которых состоят образцы, с помощью общего параметра ослабления первичного и вторичного излучений в металлическом галлии, который был ранее найден и использован при рентгеноспектральном анализе тонких пленок [11]. Эксперимент выполнен на рентгеновских спектрометрах СПАРК-1, на котором велись измерения интенсивностей вторичных линий галлия и рубидия, и VRA-20, который позволял измерять вторичные спектры калия и скандия.

Из-за небольшого изменения концентрации калия при максимальном изменении x (0.6 абсолютных весовых %) и, как следствие, слабой зависимости интенсивности $\text{K}K_{\alpha_{1,2}}$ -излучения от величины x результаты измерений по калию использовать практически не удается. Для интенсивностей $\text{Rb}K_{\alpha_{1,2}}$ (изменение весовых концентраций рубидия имеет значительно больший диапазон — 2.64%) зависимость от концентрации рубидия вполне наглядна и количественно оцениваема. Но введение поправок приводит к так называемому вырождению этой зависимости. Поэтому результаты измерений по рубидию использовались лишь для качественного подтверждения тех результатов, которые достаточно надежно и уверенно были получены с помощью вторичных рентгеновских спектров галлия и скандия.

Действительное содержание галлия в образцах оказалось следующим: $x = 0.12, 0.34, 0.50, 0.70$ и 0.94 . Ошибка измерений не превышает ± 0.01 .

Порошковые рентгенограммы всех образцов были сняты на дифрактометре ДРОН-2.0 ($\text{Cu}K_{\alpha}$ -излучение, графитовый монохроматор) при трех температурах: 293, 210 и 110 К. На рентгенограммах образцов с $x = 0.12$ и 0.34 при 110 К обнаружены дополнительные рефлексы, соответствующие моноклинному искажению исходной кубической фазы. В образцах других составов никаких изменений рентгенограмм обнаружено не было. При этом следует отметить, что зафиксировать тетрагональное искажение в эльпасолитах по порошковым рентгенограммам практически не удается [1,6]. На рис. 1 представлена зависимость параметра кубической решетки $Fm\bar{3}m$ ($Z = 4$) от содержания галлия.

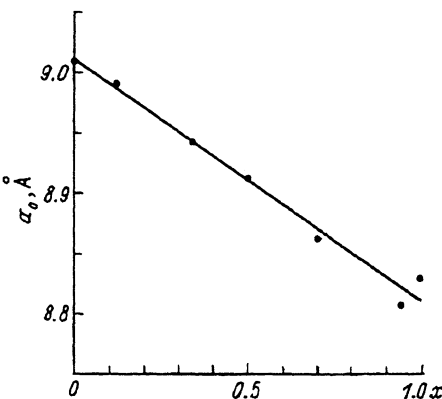


Рис. 1. Концентрационная зависимость параметра кубической решетки при $T = 293$ К соединений $\text{Rb}_2\text{KSc}_{1-x}\text{Ga}_x\text{F}_6$.

Поиск аномалий, связанных с ФП, проводился методом дифференциальной сканирующей микрокалориметрии при скоростях нагрева 8 и 16 K/min в температурном интервале 110÷400 K. Из-за малого теплового эффекта, связанного с ФП второго рода из кубической фазы в тетрагональную [6], мы смогли зафиксировать лишь аномалии, сопровождающие переход первого рода между тетрагональной и моноклинной фазами. Он был обнаружен в образцах с $x = 0.12$ ($T_2 = 203$ K) и 0.34 ($T_2 \approx 160$ K). По мере увеличения концентрации галлия величина аномалии теплоемкости уменьшается и размывается по температуре.

Кроме аномалии при T_2 в образце с $x = 0.34$, а также в образце с $x = 0.5$ были обнаружены аномалии вблизи 273 и 373 K, что, на наш взгляд, связано с наличием в наших образцах адсорбированной воды. Нагрев до 400 K приводил к потере массы образца порядка 1.5%, а при повторном нагреве аномалии не наблюдались. Для восстановления аномалий теплоемкости и массы достаточно выдержки образцов в течение нескольких часов при комнатных условиях. Расчеты предполагаемой массы H_2O по величинам энталпий плавления и испарения хорошо согласуются с величиной потери массы. Таким образом, составы с $x = 0.34$ и 0.5 отличаются, по-видимому, наибольшей гигроскопичностью.

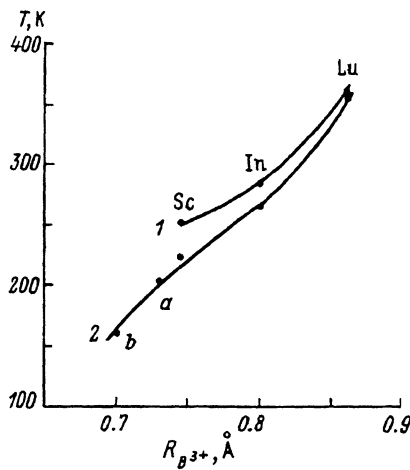


Рис. 2. Изменение температур $Fm\bar{3}m-14/m$ (1) и $I4/m-P2_1/n$ (2) в соединениях $\text{Rb}_2\text{KB}^{3+}\text{F}_6$ и $\text{Rb}_2\text{KSc}_{1-x}\text{Ga}_x\text{F}_6$ ($a - x = 0.12$; $b - x = 0.34$) в зависимости от размера иона B^{3+} .

Никаких аномалий в области температур 110–400 К не было обнаружено в образцах с $x = 0.7$ и 0.94 . Отсутствие аномалии теплоемкости, связанной с ФП $I4/m-P2_1/n$, в составах с $x = 0.5$ и 0.7 может быть обусловлено скорее всего тем, что ФП быстро смешается в область температур ниже 110 К (рис. 2). Что касается образца с $x = 0.94$, то результат был полной неожиданностью, так как в чистом Rb_2KGaF_6 при $T_0 = 120$ К наблюдается резкий переход первого рода со значительным изменением энтропии [5,10]. Увеличение радиуса иона B^{3+} от Ga к Fe ведет к росту T_0 , поэтому мы ожидали, что небольшие добавки скандия (6%) по крайней мере приведут к тому же эффекту.

В кристалле с $\text{B}^{3+} = \text{Fe}$ сдвиг температуры ФП под давлением очень значителен ($dT_0/dp = +130 \text{ K}\cdot\text{GPa}^{-1}$) [5,10]. Поэтому, если превращение в образце $\text{Rb}_2\text{KSc}_{0.06}\text{Ga}_{0.94}\text{F}_6$ аналогично ФП в кристалле с $\text{B}^{3+} = \text{Fe}$, но по каким-то причинам происходит при более низкой температуре, чем в галлиевом соединении, можно было ожидать, что приложении гидростатического давления удастся сместить T_0 в достижимую в эксперименте область температур.

Влияние гидростатического давления было исследовано при $T > 95$ К методом ДТА с термопарой Ge–Cu в камере высокого давления типа цилиндр–поршень [12]. В качестве среды, передающей давление, использовалась смесь трансформаторного масла с пентаном. Порошок упаковывался в медную гильзу и монтировался на одном из спаев дифференциальной термопары. Однако никаких аномалий при давлениях до 0.25 ГПа в этом образце обнаружено не было.

Образец $\text{Rb}_2\text{KSc}_{0.88}\text{Ga}_{0.12}\text{F}_6$ был исследован под давлением до 0.5 ГПа. Из-за размытия аномалии точность определения температуры ФП составляла 0.7–1 К. Результаты измерений представлены на рис. 3,а. Так же как и в других эльпасолитах ряда $\text{Rb}_2\text{KB}^{3+}\text{F}_6$, зависимость $T_2(p)$ нелинейна [7]: а наблюдавшееся уменьшение начального наклона функции $T_2(p)$, $dT_2/dp|_{p=0}$, сохраняется и в смешанных соединениях (рис. 3,б).

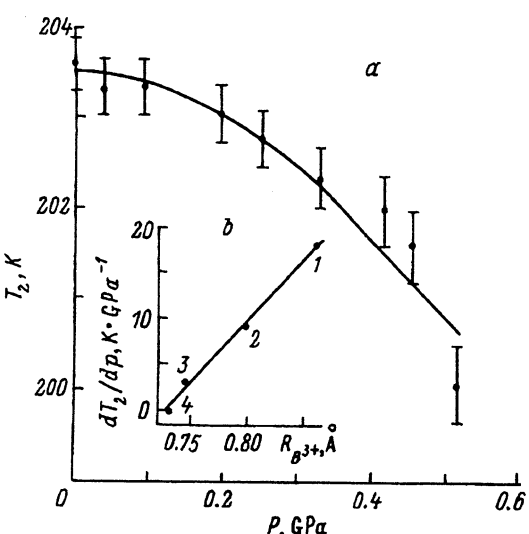


Рис. 3. Влияние гидростатического давления на температуру T_2 ФП $I4/m-P2_1/n$ в соединении $\text{Rb}_2\text{KSc}_{0.88}\text{Ga}_{0.12}\text{F}_6$ (а) и зависимость от $R_{\text{B}^{3+}}$ величины сдвига T_2 под давлением в кристаллах $\text{Rb}_2\text{KB}^{3+}\text{F}_6$ (B^{3+} : Lu (1), In (2), Sc (3), $\text{Sc}_{0.88}\text{Ga}_{0.12}$ (4)) (б).

То, что ФП, обнаруженные нами в образцах с $x = 0.12$ и 0.34 , являются переходами между тетрагональной ($I4/m$) и моноклинной ($P2_1/n$) фазами, подтверждается зависимостями, приведенными на рис. 2 и 3, б. Величины T_2 и $dT_2/dp|_{p=0}$ хорошо совпадают с зависимостями $T_2(R_{B^{3+}})$ и $dT_2/dp|_{p=0}(R_{B^{3+}})$, полученными для ряда $Rb_2KB^{3+}F_6$. В случае смешанных кристаллов в качестве $R_{B^{3+}}$ был взят эффективный радиус.

Итак, в системе соединений со структурой эльпасолита $Rb_2KSc_{1-x}Ga_xF_6$ уменьшение эффективного ионного радиуса B^{3+} за счет увеличения концентрации галлия приводит к снижению температуры T_2 (и, скорее всего, T_1 , так как она не наблюдается в кристалле Rb_2KGaF_6 даже при малых концентрациях Sc) и не нарушает картины ФП, наблюдавшейся в исходном соединении. Как ни странно, добавки Sc к галлиевому соединению также вызывают снижение T_0 со значительно большей скоростью $dT_0/d(1-x)$. Следует обратить внимание на то, что величины параметра кубической ячейки a_0 для составов с $x = 0.94$ и 1.0 отличаются значительно от ожидаемых из линейной зависимости $a_0(x)$ (рис. 1). Для прояснения картины фазовой диаграммы $Rb_2KSc_{1-x}Ga_xF_6$ со стороны $x = 1$ необходимы исследования образцов с меньшим содержанием скандия чем 5%.

Работа выполнена при финансовой поддержке Красноярского краевого фонда науки (грант № 2F0035).

Список литературы

- [1] Tressaud A., Khaïroun S., Chaminade J.-P., Couzi M. // Phys. Stat. Sol. (a). 1986. V. 98. N 1. P. 417–422.
- [2] Couzi M., Khaïroun S., Tressaud A. // Phys. Stat. Sol. (a). 1986. V. 98. N 1. P. 423–432.
- [3] Воронов В.Н., Горев М.В., Мельникова С.В., Мисюль С.В., Флеров И.Н. // ФТТ. 1991. Т. 33. № 10. С. 2145–2147.
- [4] Флеров И.Н., Горев М.В., Мельникова С.В., Мисюль С.В., Воронов В.Н., Александров К.С. // ФТТ. 1992. Т. 34. № 7. С. 2185–2195.
- [5] Flerov I.N., Tressaud A., Aleksandrov K.S., Couzi M., Gorev M.V., Grannec J., Melnikova S.V., Chaminale J.-P., Misyl S.V., Voronov V.N. // Ferroelectrics. 1991. V. 124. N 1–4. P. 309–314.
- [6] Флеров И.Н., Горев М.В., Мельникова С.В., Мисюль С.В., Воронов В.Н., Александров К.С., Трессо А., Граннек Ж., Рабардель Л., Гэнгар Х. // ФТТ. 1992. Т. 34. № 11. С. 3493–3500.
- [7] Горев М.В., Флеров И.Н., Воронов В.Н., Мисюль С.В. // ФТТ. 1993. Т. 35. № 4. С. 1022–1027.
- [8] Marco de Lucas C., Rodriguez F., Dance J.M., Moreno M., Tressaud A. // J. Lumin. 1991. V. 48/49. N 2. P. 553–557.
- [9] Dance J.M., Grannec J., Tressaud A., Moreno M., Rodriguez F., Marco de Lucas M. // Phys. Stat. Sol. (b). 1992. V. 173. N 2. P. 579–586.
- [10] Горев М.В., Флеров И.Н., Воронов В.Н., Трессо А., Граннек Ж., Шаминад Ж.-П. // ФТТ. 1994. Т. 36. № 4. С. 1121–1125.
- [11] Бондаренко Г.В., Долгарев А.П. // Тез. докл. Всесоюзн. совещ. по рентгеновской и электронной спектроскопии. Иркутск, 1984. С. 102.
- [12] Горев М.В., Флеров И.Н. // ФТТ. 1992. Т. 34. № 8. С. 2614–2618.